CALCOLI DI DOSE con esempi

Relazioni dose-esposizione e dose-kerma

Se si verifica la condizione di equilibrio di particelle cariche:

$$D = K_{coll}$$

→ si possono relazionare la dose assorbita e la fluenza di energia.

Allora:
$$D = \left(\frac{\mu_{en}}{\rho}\right) \Psi$$

in particolare in aria $D_{aria} = \frac{W_{aria}}{e} X$

In queste condizioni, se ho lo stessa fluenza di energia in due mezzi diversi:

$$D_1 = \left(\frac{\mu_{en}}{\rho}\right)_1 \Phi E_{\gamma} \qquad e \qquad D_2 = \left(\frac{\mu_{en}}{\rho}\right)_2 \Phi E_{\gamma} \quad \Rightarrow \quad D_2 = D_1 \frac{(\mu_{en}/\rho)_2}{(\mu_{en}/\rho)_1}$$

Posso così passare da una misura di esposizione, necessariamente in aria, ad una misura di dose in un materiale *M* qualsiasi:

$$D_{M} = D_{aria} \frac{(\mu_{en}/\rho)_{M}}{(\mu_{en}/\rho)_{aria}} = X \frac{W_{aria}}{e} \frac{(\mu_{en}/\rho)_{M}}{(\mu_{en}/\rho)_{aria}}$$

Se uso il kerma:

$$\begin{split} X &= K_{coll, aria} \cdot \frac{e}{W_{aria}} = K_{aria} \cdot \frac{e}{W_{aria}} \cdot (1-g) \\ \frac{\mu_{en}}{\rho} &= \frac{\mu_{tr}}{\rho} \cdot (1-g) \end{split}$$

$$\longrightarrow K_{aria} = X \frac{W_{aria}}{e} \frac{1}{(1-g)} = X \frac{W_{aria}}{e} \frac{(\mu_{tr}/\rho)_{aria}}{(\mu_{en}/\rho)_{aria}}$$

quindi:

$$D_{M} = K_{aria} \frac{(\mu_{en}/\rho)_{M}}{(\mu_{tr}/\rho)_{aria}}$$

 $W_{aria} = 34 \text{ eV}: 34 \text{ eV} \rightarrow 1 \text{ coppia} = 1.6 \times 10^{-19} \text{ C} \Rightarrow 1 \text{ C} = 2.13 \times 10^{20} \text{ eV}$ $\Rightarrow 1 \text{ R} = 2.58 \times 10^{-4} \text{ [C/kg]} \cdot 2.13 \times 10^{14} \text{ [MeV/C]} \cdot 10^{-3} \text{ [kg/g]} = 5.5 \times 10^{7} \text{ MeV/g}$

$$X = 1.8 \times 10^{-8} \Phi E_{\gamma} \left(\frac{\mu_{en}}{\rho}\right)_{E, aria}$$

$$[R] \quad [cm^{-2}] \quad [MeV] \quad [cm^{2}/g]$$

Qualche utile relazione

$$D = 1.6 \times 10^{-10} \Phi E_{\gamma} \left(\frac{\mu_{en}}{\rho}\right)$$

$$D = \left(\frac{\mu_{en}}{\rho}\right) \Phi E_{\gamma}$$

$$D = 1.6 \times 10^{-10} \Phi E_{\gamma} \left(\frac{\mu_{en}}{\rho}\right)$$

$$D_{M} = D_{aria} \frac{(\mu_{en}/\rho)_{M}}{(\mu_{en}/\rho)_{aria}} = X \frac{W_{aria}}{e} \frac{(\mu_{en}/\rho)_{M}}{(\mu_{en}/\rho)_{aria}} \qquad D_{M} = 8.8 \times 10^{-3} \frac{(\mu_{en}/\rho)_{M}}{(\mu_{en}/\rho)_{aria}} X$$
[Gy]

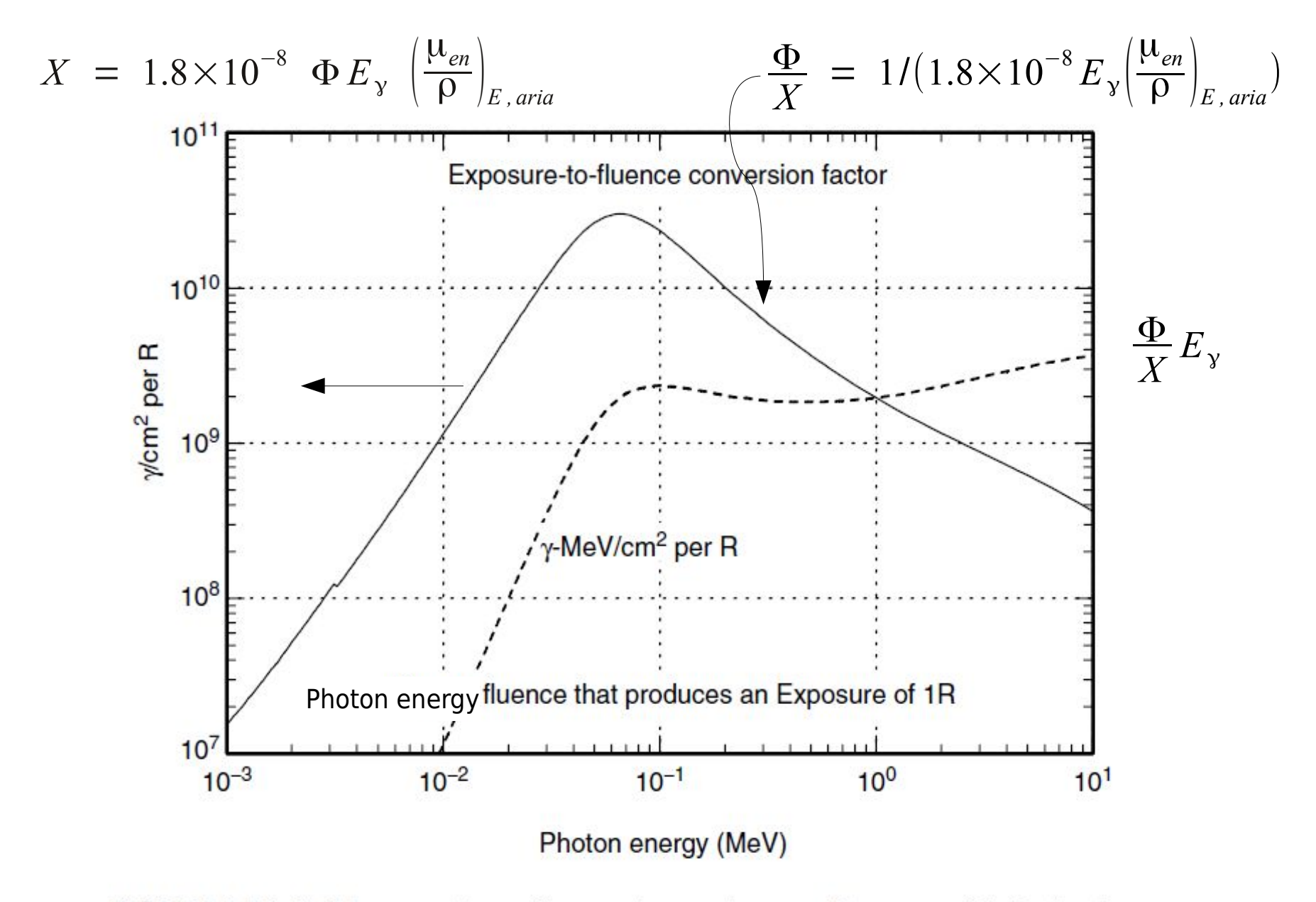


FIGURE 2.70 Solid curve: photon fluence that produces an Exposure of 1 R; that is, photon fluence that produces a dose of 0.877 rad air. When multiplied by photon energy there results the dashed curve, the photon energy fluence per R; above 100 keV it is slowly varying, near 2×10^9 γ -MeV/cm² per R.

Relazione fra rateo di esposizione ed intensità di fluenza

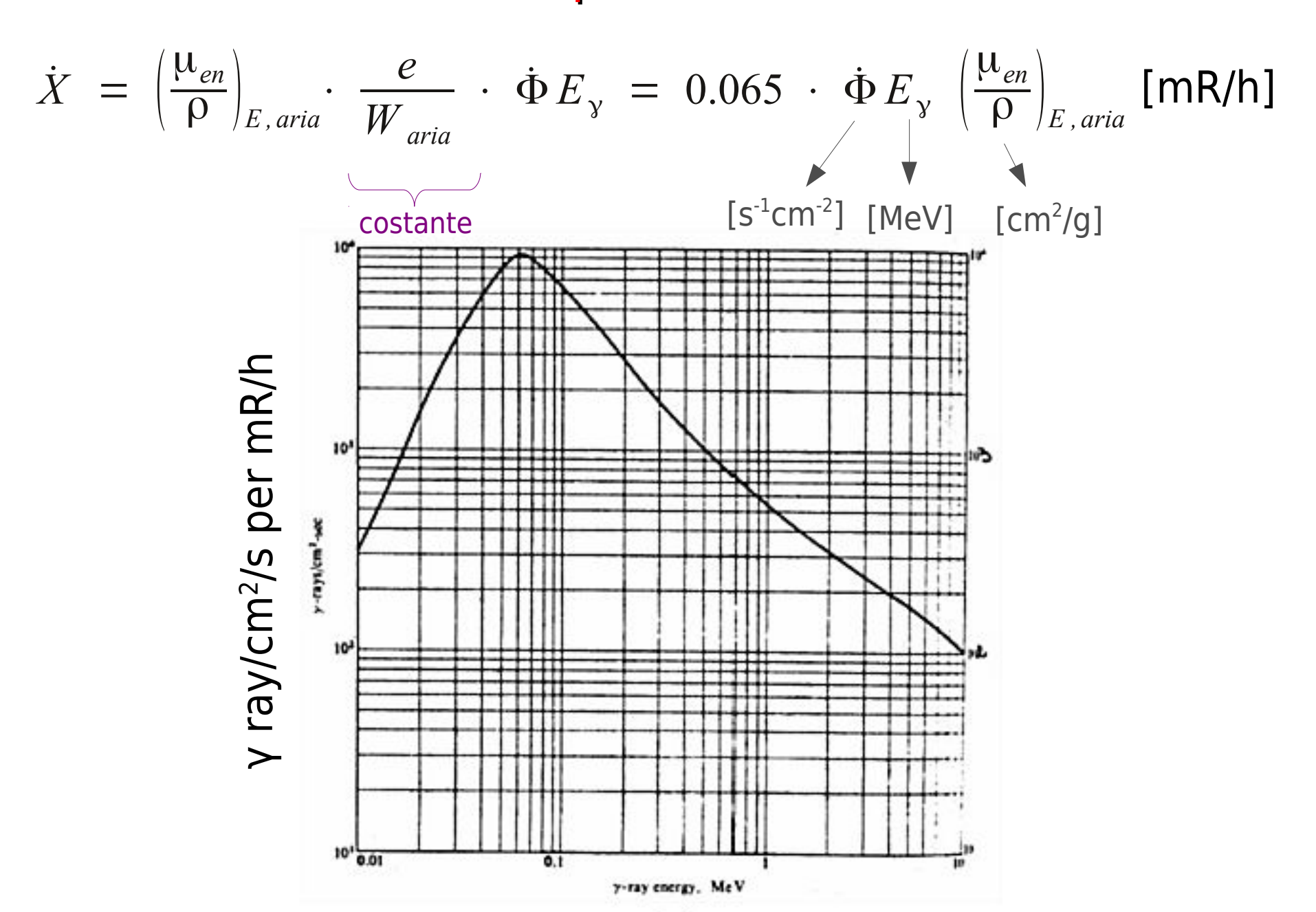
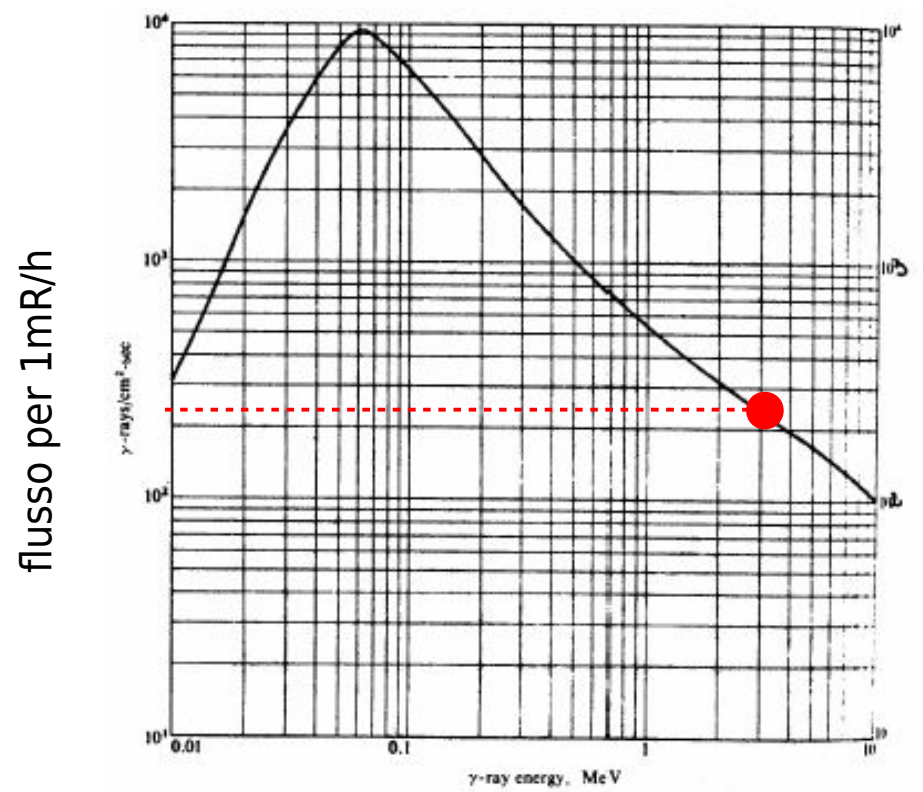


Fig. 18.3 intensità di fluenza di fotoni (cm⁻²s⁻¹) di energia E, corrispondente ad una intensità di Esposizione pari ad 1 mR/h

Esempio

Calcolare il rateo di dose in aria, acqua e tessuto per un fascio di fotoni monoenergetico di energia $E_{\gamma} = 3$ MeV e intensità di flusso pari a 10^7 y cm⁻² s⁻¹

Dal grafico che relazione rateo di esposizione e intensità di flusso γ:



1 mR/h con \approx 240 γ cm⁻² s⁻¹

quindi:

$$\dot{X} = \frac{10^7}{240} = 4.2 \times 10^4 \text{ mR/h}$$

Oppure:
$$\dot{X} = 0.065 \cdot \dot{\Phi} E_{\gamma} \left(\frac{\mu_{en}}{\rho}\right)_{E, aria} [\text{mR/h}] = 4x10^4 \,\text{mR/h}$$

$$[\text{s}^{-1}\text{cm}^{-2}] \text{ [MeV]} \text{ [cm}^2/\text{g]}$$

poiché:
$$D_{aria} = 8.8 \times 10^{-3} \ \dot{X}$$
 $D_{aria} = 8.8 \times 10^{-3} \times 4.2 \times 10^{4} = 369 \ mGy/h$

$$D_{aria}^{\cdot} = 0.103 \ mGy/s$$

$$\dot{D}_{M} = \dot{D}_{aria} \frac{(\mu_{en}/\rho)_{M}}{(\mu_{en}/\rho)_{aria}}$$

$$\left(\frac{\mu_{en}}{\rho}\right)_{aria,3\text{Mev}} = 0.0205 \, \text{cm}^2/\text{g}$$

$$\left(\frac{\mu_{en}}{\rho}\right)_{acqua,3Mev} = 0.0227 \, cm^2 / g$$

$$\left(\frac{\mu_{en}}{\rho}\right)_{tessuto, 3Mev} = 0.0225 \, cm^2 / g$$

$$D_{acqua}^{\cdot} = 0.114 \, mGy/s$$

$$D_{tessuto}^{\cdot} = 0.113 \, mGy/s$$

Si consideri un fascio di γ di 3 MeV incidenti perpendicolarmente su un sottile foglio di Fe, il cui spessore è molto inferiore al range degli elettroni secondari:

- a) calcolare K, K_{coll} e K_{rad} nel foglio per una fluenza Φ pari a $5.6 \times 10^{15} \, \gamma/m^2 \, (\mu_{tr}/\rho = 0.00212 \, m^2/kg, \, \mu_{en}/\rho = 0.00204 \, m^2/kg)$
- b) approssimativamente, quant'è la dose assorbita nel foglio, assumendo che non vi siano particelle cariche provenienti da altre fonti?

Un fascio di raggi X di bassa energia con una fluenza di energia pari a 3.7×10⁻⁴ J/cm²/s incide perpendicolarmente su una lastra di Al e viene completamente assorbito:

- a) quanta energia viene assorbita per cm² in 5 minuti?
- b) se la lastra ha spessore pari a 2 cm e densità $\rho = 2.7$ g/cm³, qual è il valor medio di K_{coll} nel mezzo (in 5 minuti)?
- c) qual è il valor medio della dose assorbita?
- d) quale sarebbe il valor medio della dose assorbita se lo spessore fosse pari a 4 cm?

Si considerino due contenitori riempiti con 5 e 25 cm³ di acqua, rispettivamente. Essi vengono irraggiati omogeneamente con raggi γ e il valor medio del kerma nel contenitore più piccolo è pari a 1 Gy:

- a) a quanto ammonta il valor medio del kerma nel contenitore più grande?
- b) quant'è l'energia trasferita in ciascuno dei due volumi di acqua?

IRRADIAZIONE ESTERNA

FOTONI:

→ condizione di "quasi equilibrio"

$$D = \left(\frac{\mu_{en}}{\rho}\right) \Phi E_{\gamma} \qquad \qquad \dot{D} = \frac{A \cdot E_{\gamma}}{4 \pi r^{2}} \cdot \frac{\mu_{en}}{\rho}$$

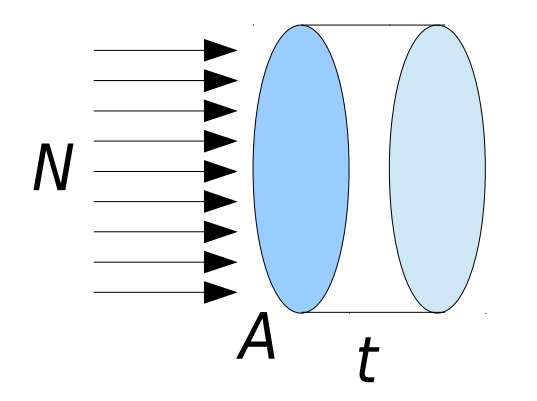
Poiché fra 60 keV e 2 MeV il coefficiente di assorbimento massico in **aria** è all'incirca costante e vale ~ 0.027 cm²/g, si ha con A in [MBq], E in [MeV] e r in [m]:

$$\dot{D} = 1.24 \times 10^{-7} \frac{A \cdot E}{r^2} \quad [Gy/h]$$

Per ottenere una stima della dose nel tessuto (caso semplificato di irradiazione uniforme al corpo intero) moltiplico per 1.12 (rapporto fra i coefficienti massici di assorbimento tessuto-aria).

IRRADIAZIONE ESTERNA

Particelle direttamente ionizzanti:



$$D \approx N \frac{\frac{dE}{\rho \, dx} \cdot \rho \, t}{At \, \rho} = \Phi \cdot \frac{\frac{dE}{\rho \, dx} \cdot \rho \, t}{\rho \, t} = \Phi \cdot \frac{dE}{\rho \, dx}$$

pt [g/cm²]
dE/pdx [MeV/cm²/g]
D [MeV/g]

- → i calcoli di dose non sono affatto semplici: il potere frenante cambia con lo spessore attraversato (e dunque la dose). Si usa l'approssimazione CSDA.
- → i calcoli di dose sono particolarmente complicati per gli elettroni

Esistono tabulazioni per le varie sorgenti di β⁻.

$$D \approx \Phi \cdot \frac{dE}{\rho \, dx}$$

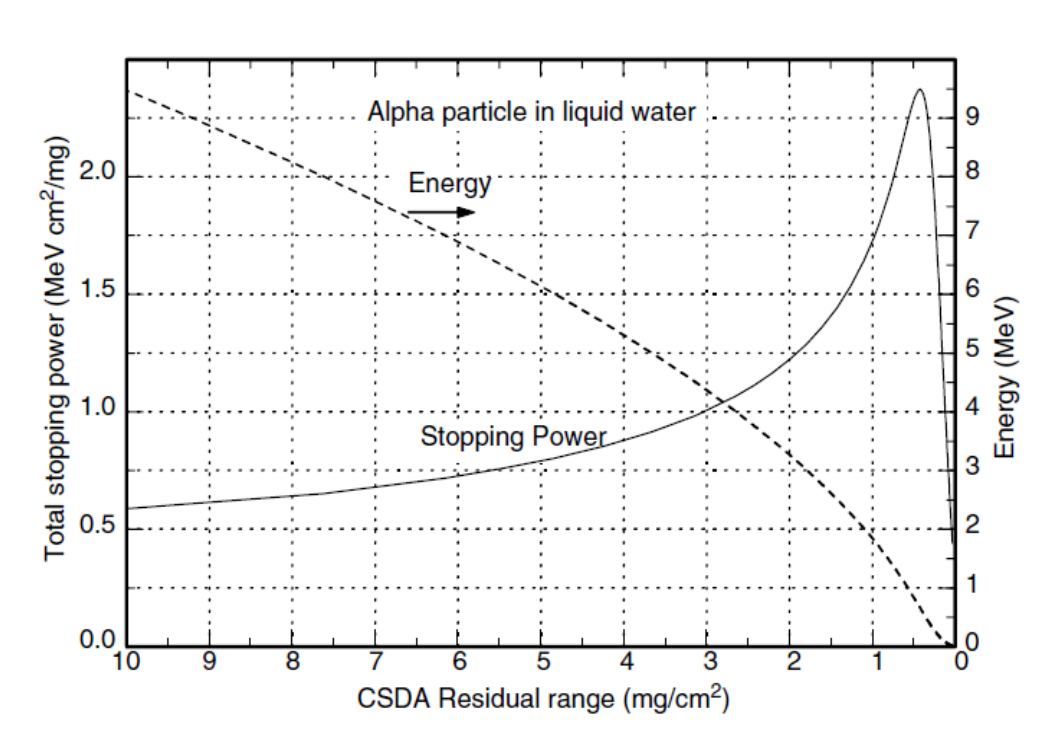


FIGURE 4.3 Bragg curve of alpha particle in liquid water. Bragg peak is the maximum of the stopping power near the end of the range. As graphed, the particle starts with kinetic energy 9.5 MeV and CSDA range of $10 \text{ mg/cm}^2 = 0.01 \text{ cm}$. Near the end of its range, its energy loss rate peaks at four times its starting rate. It deposits about 1.8 MeV in the last $10 \mu m$ of its range. (Data from SRIM [SR03].)

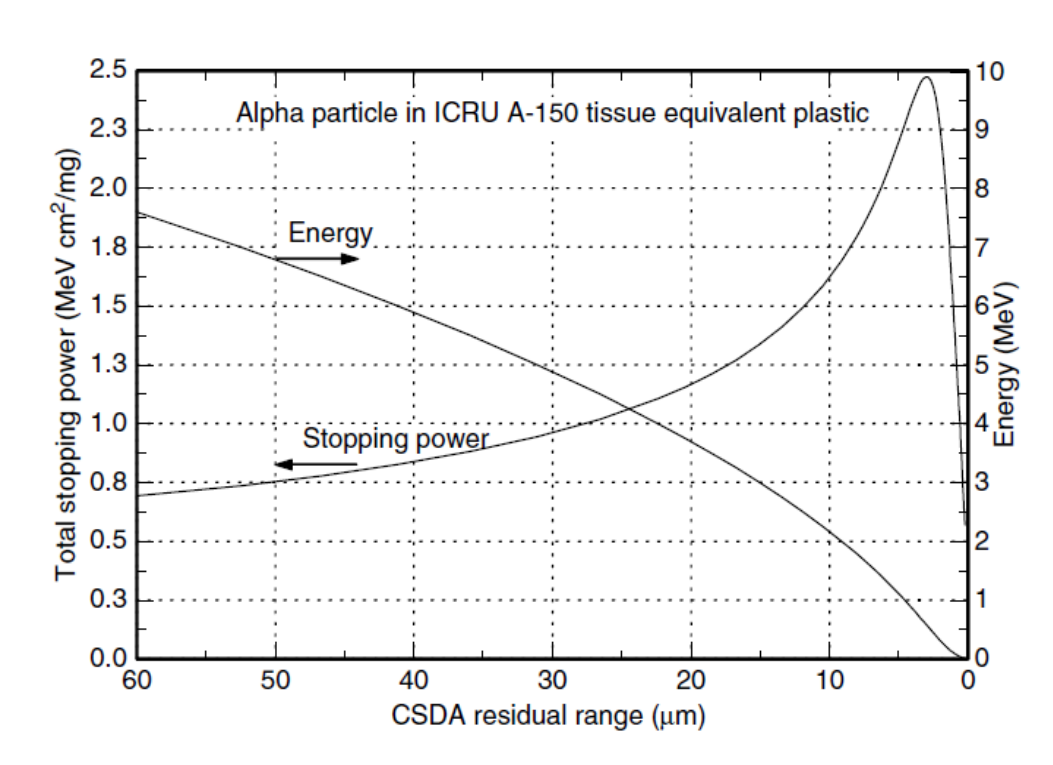


FIGURE 4.4 Bragg curve of alpha particle in ICRU A-150 tissue equivalent plastic. About 2.1 MeV is deposited in the last 10 μ m of the particle range.

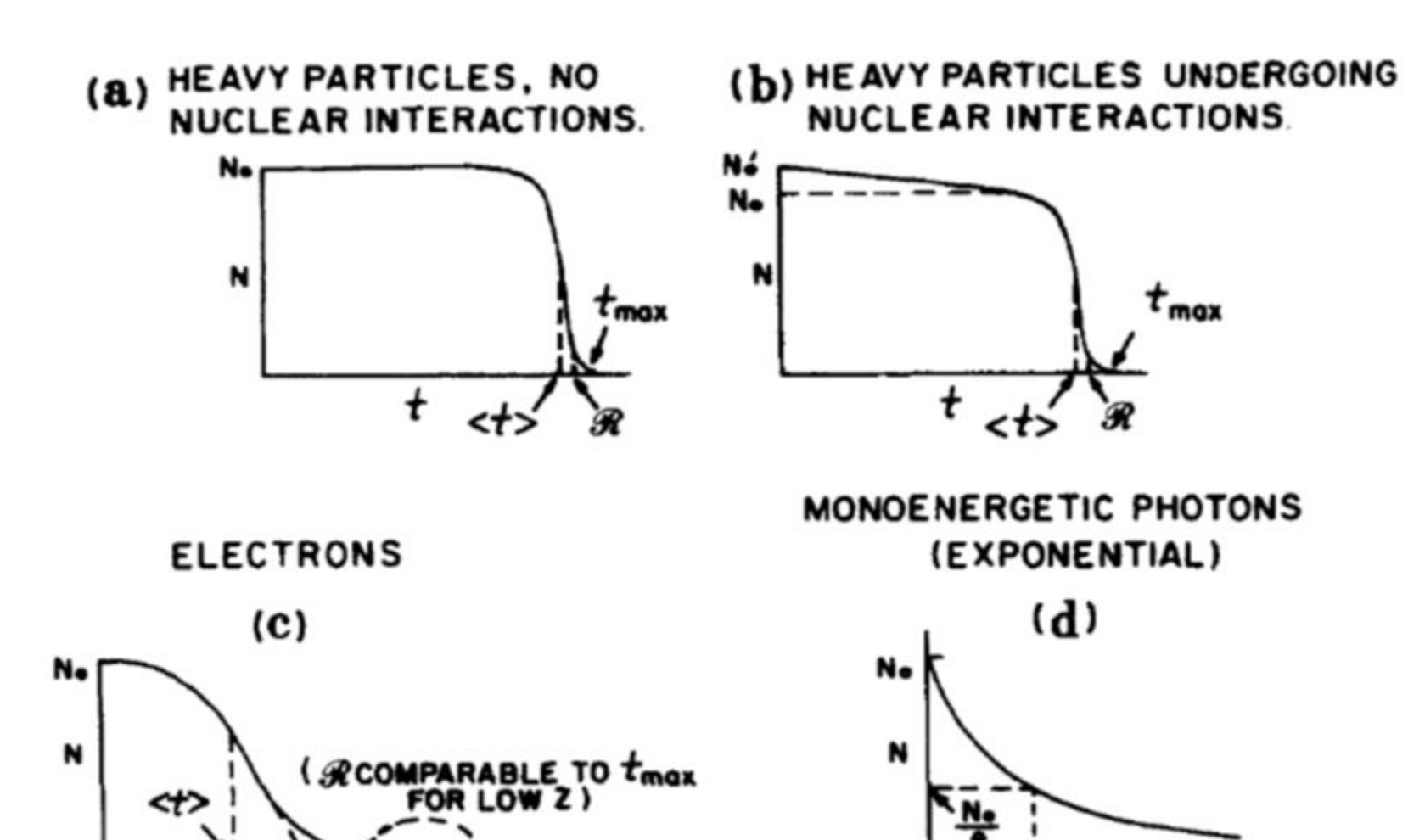
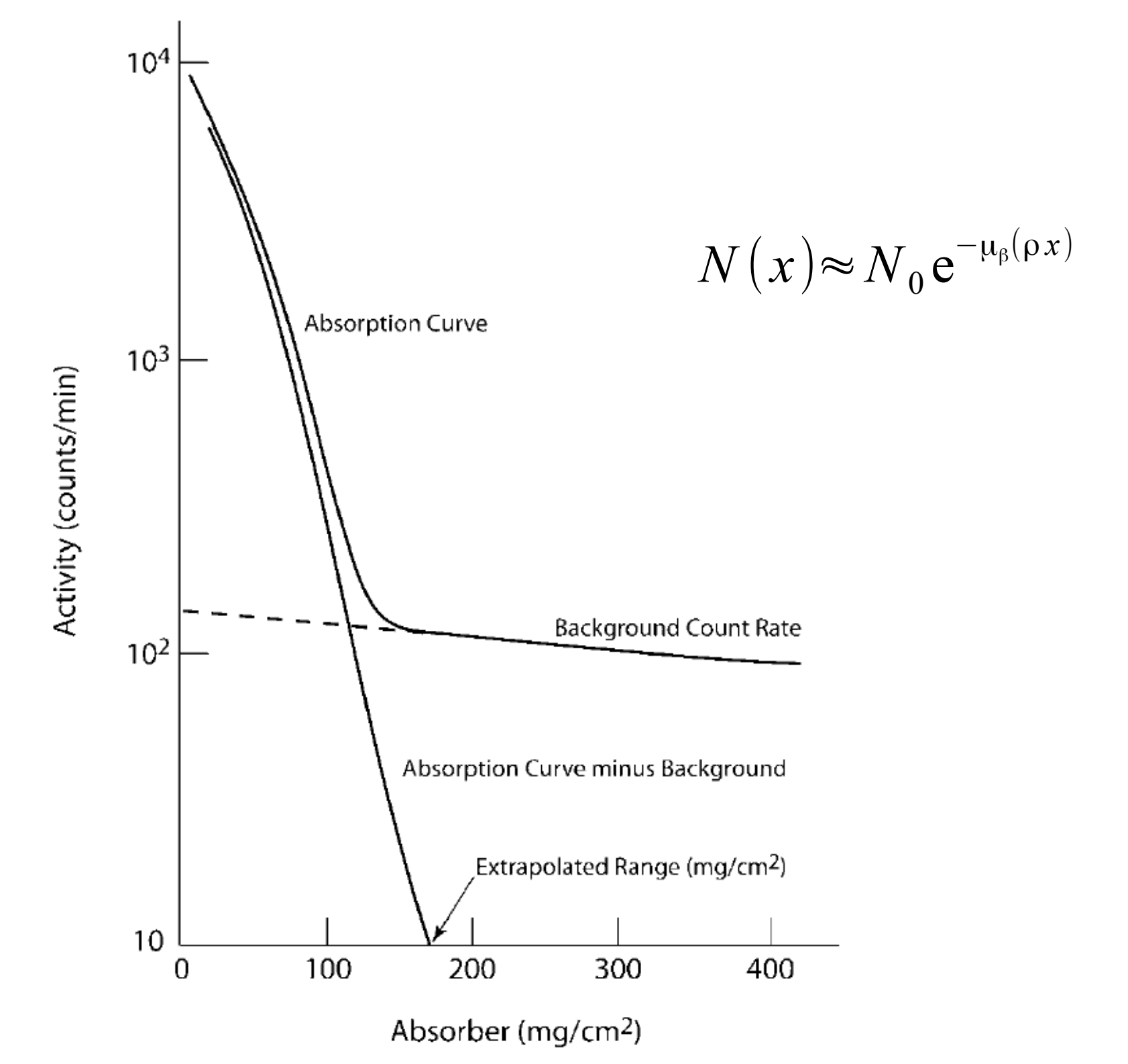


FIGURE 8.9. Numbers of monoenergetic charged particles or photons penetrating through a slab thickness t of absorbing medium. Scattered photons are assumed to be ignored in d. $\langle t \rangle$ is the projected range, t, is the extrapolated penetration depth, t_{max} is the maximum penetration depth, and R is the range ($\cong R_{\text{CSDA}}$).



IRRADIAZIONE ESTERNA

ELETTRONI:

→ l'assorbimento, anche dell'aria, è importante (modifica dello spettro, in caso di sorgenti β).

Formule **empiriche** che **stimano** la frazione di energia depositata per unità di massa (in cm²/g):

$$\mu_{\beta,air} = 16(E_{\beta,max} - 0.036)^{-1.4}$$

$$E [MeV] \qquad \mu_{\beta,tissue} = 18.6(E_{\beta,max} - 0.036)^{-1.37} \qquad \dot{D} = \mu_{\beta} \dot{\Phi} \bar{E}_{\beta}$$

$$\mu_{\beta,i} = 17(E_{\beta,max})^{-1.14}$$

ALFA:

→ non costituiscono un rischio.

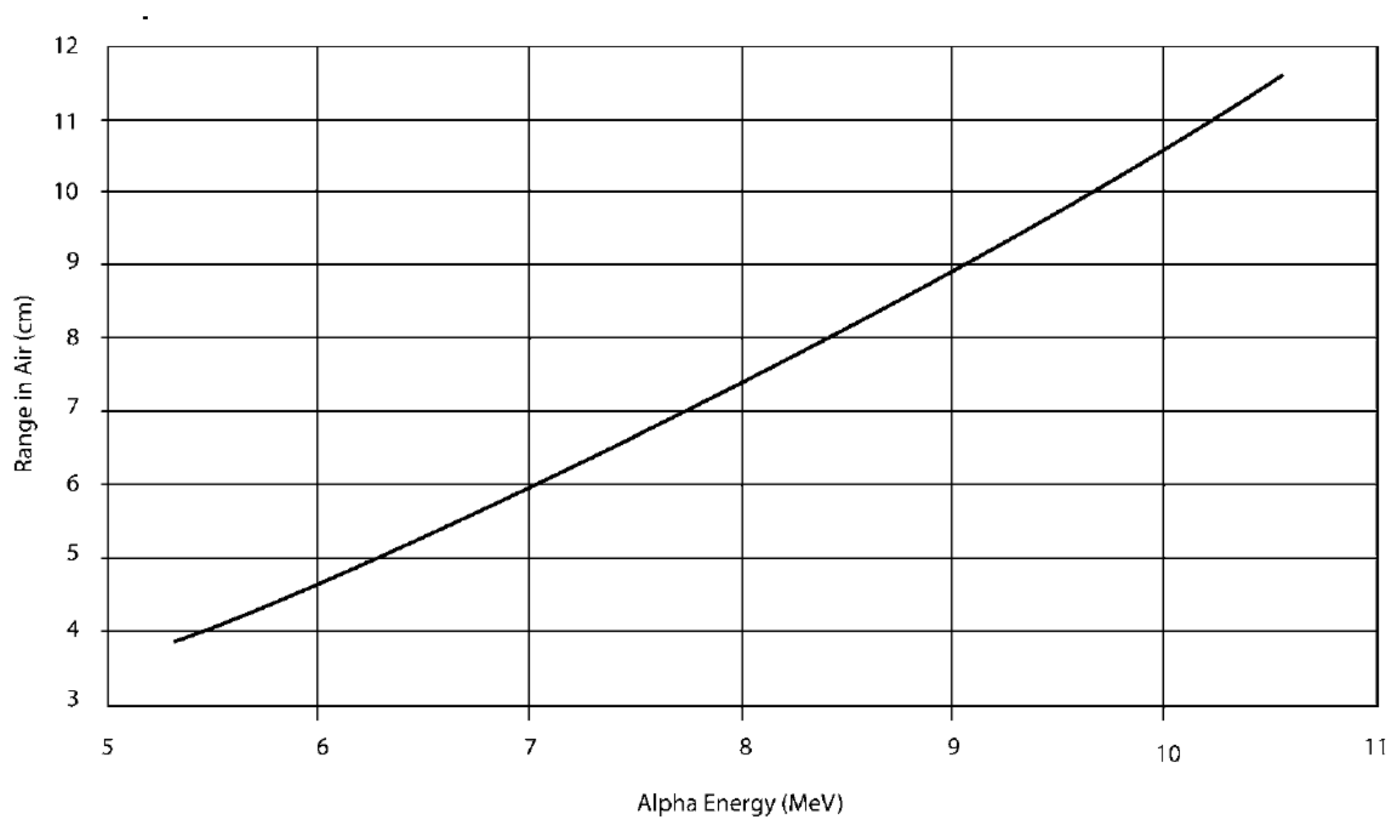
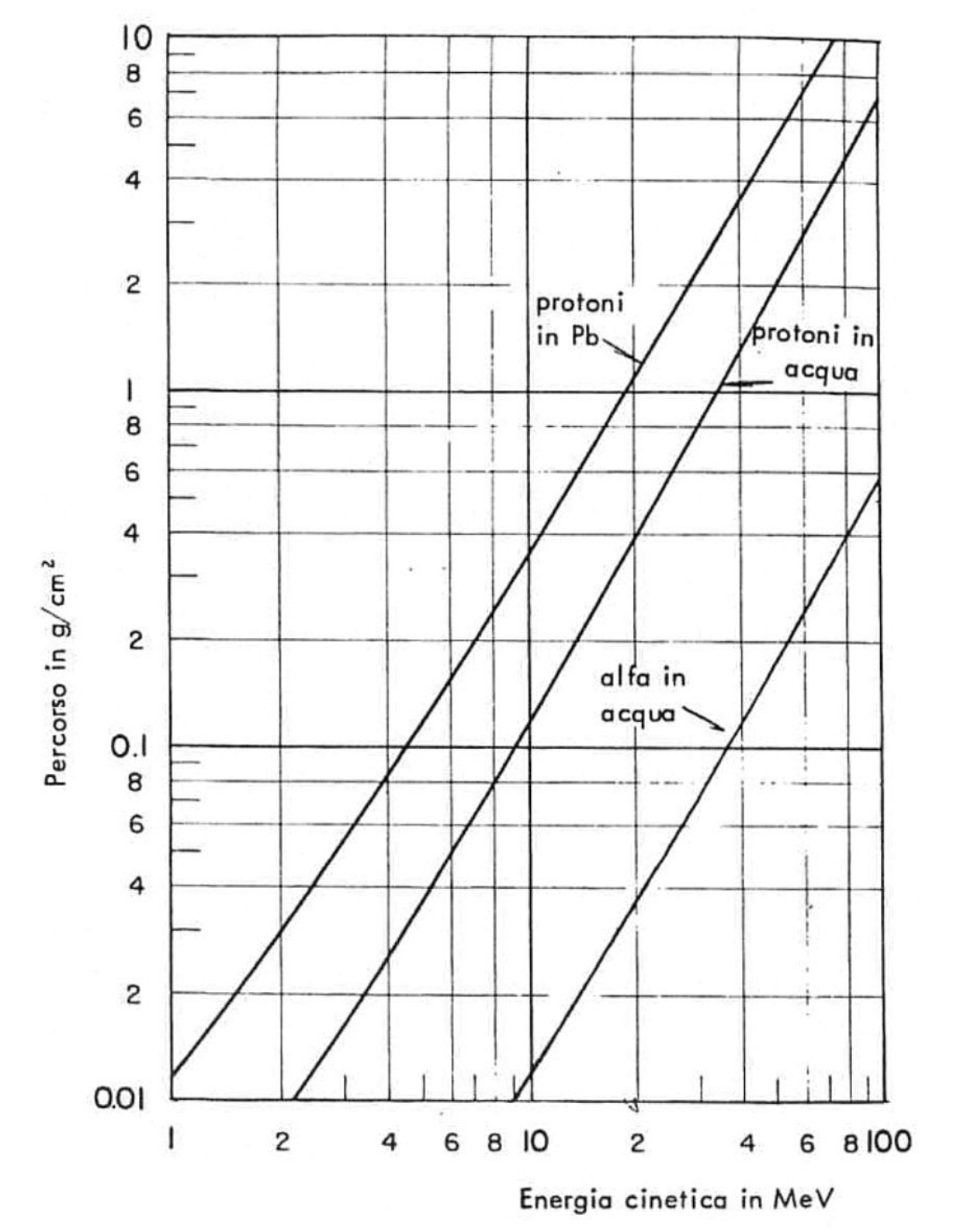


Fig. 7-4 Range versus energy of alpha particles in air.



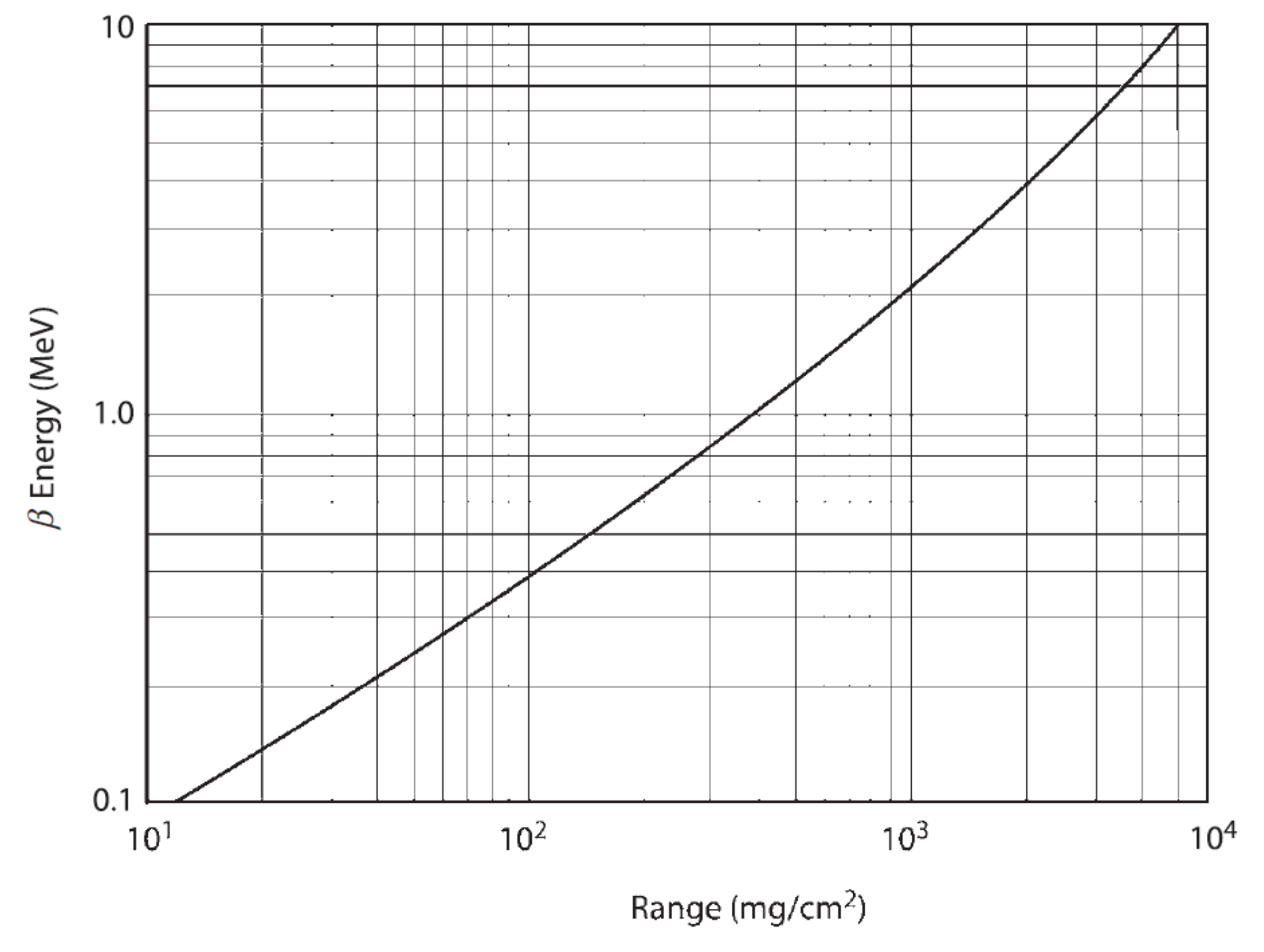


Fig. 7-9 Equivalent range of electrons in mg/cm² of low-Z absorbers.

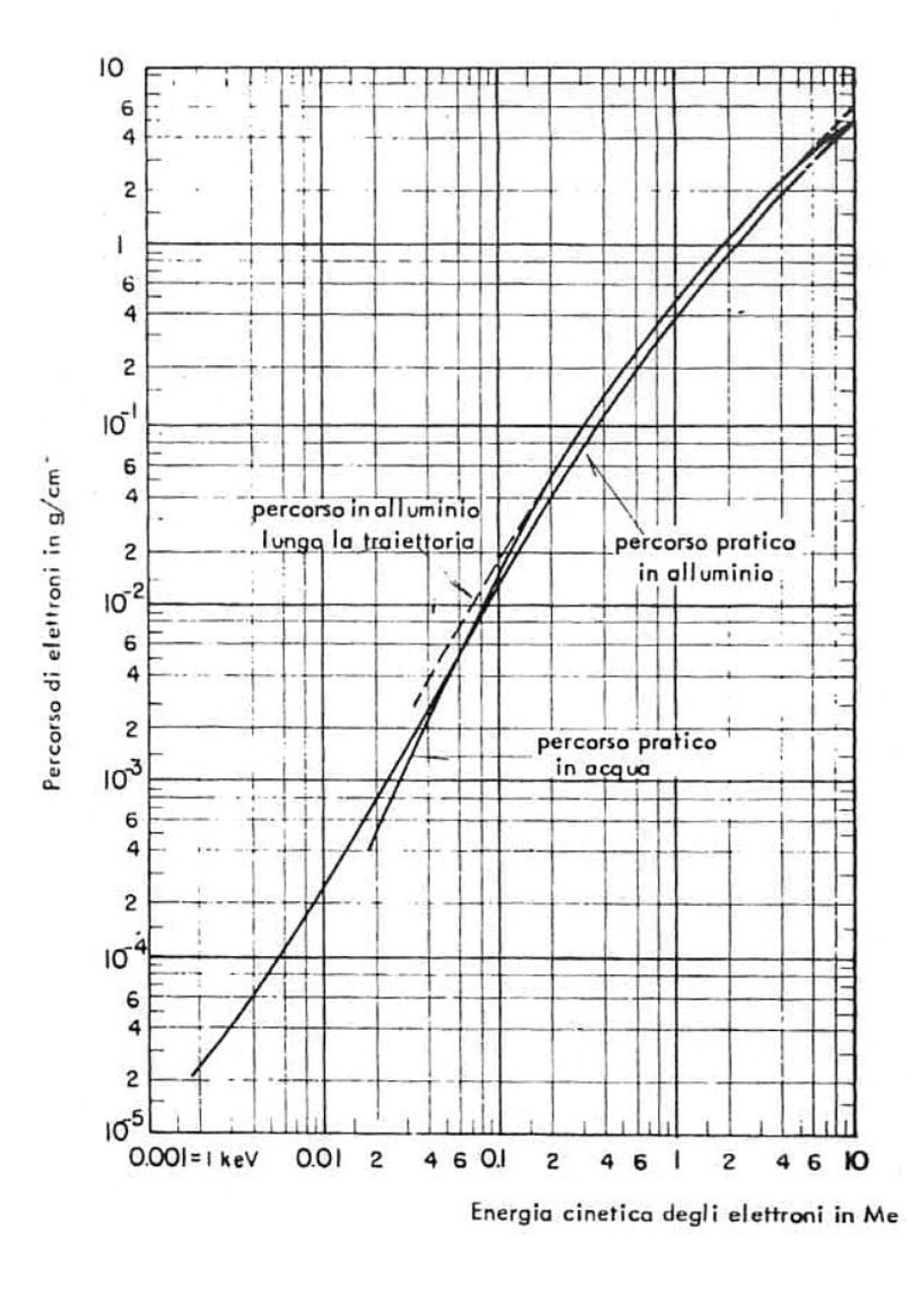
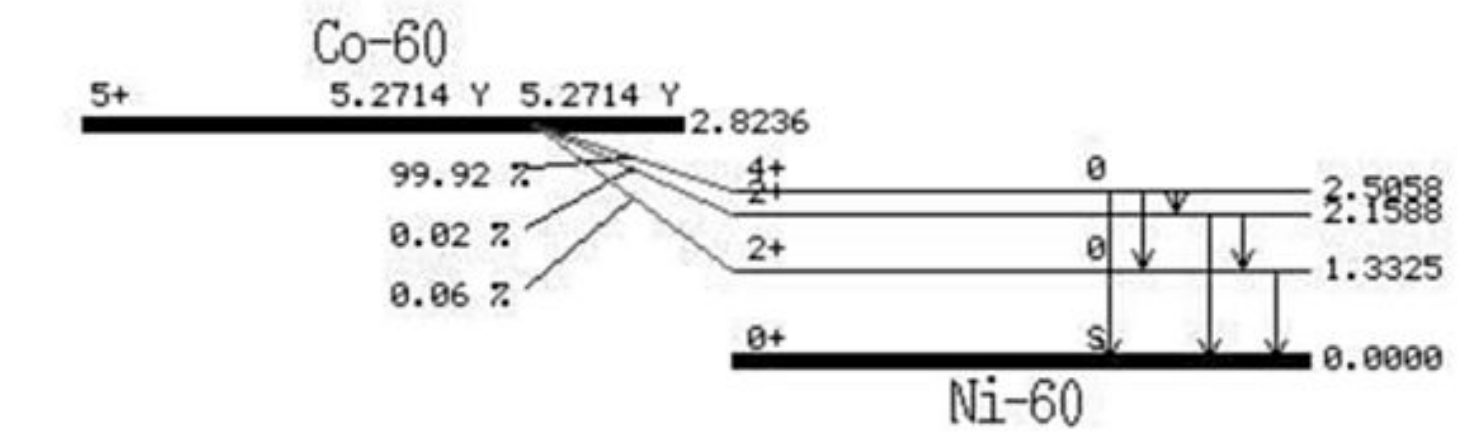


Figura 8.24. Percorso di elettroni monoenergetici in alluminio e acqua in funzione dell'energia cinetica. La curva tratteggiata, che coincide per un tratto con la curva continua relativa all'acqua, rappresenta il percorso in alluminio calcolato a partire dalla conoscenza del potere frenante.

60CO B- DECAY (5.2714 Y)

Parent state: G.S.

Half life: 5.2714 Y(5) Q(gs): 2823.64(11) keV Branch ratio: 1.0



Beta ray:

Max.E(keV)	Avg.E(keV)	Intensity(rel)	Spin	5+
1492 (20)	625.87(5)	0.057(20)		2+
670 (20)	274.93 (5)	0.022(LT)		2+
317.88(10)	95.77(4)	99.925(20)		4+

Gamma ray:

Energy(keV)	Intensity(rel
346.93 (7)	0.0076(5)
826.28(9)	0.0076(8)
1173.237(4)	99.9736(7)
1332.501(5)	99.9856(4)
2158.77(9)	0.00111(18)
2505	2.0E-6(4)

Cobalt - 60

 $^{60}\mathrm{Co}_{27}$

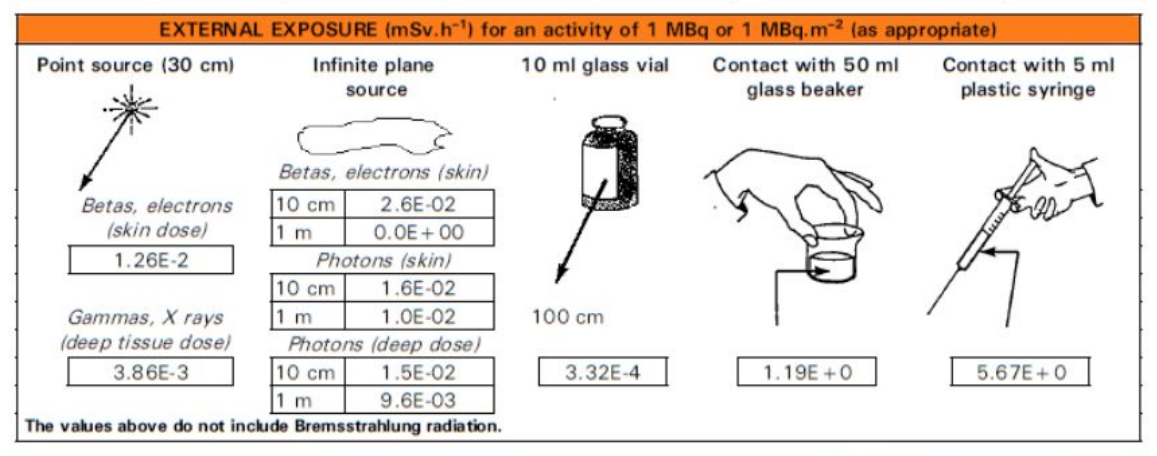
Half life: 5.27 years Specific activity: 4.18E+13 Bq.g⁻¹

Main emissions (keV) Beta (Emax) Gamma or X Electrons Alpha E Е Е Е % % 96 E1 1173 100 318 100 E2 1333 100 1491 <1 E3 % omitted <1 0

Risk group: 2 Risk colour: Orange

Exemption levels				
Quantity (Bq)	1E+05			
Concentration (Bq.g-1)	1E+01			

Transport (TBq)				
IAEA ST1 A ₁ value	4E-1			
IAEA ST1 A ₂ value	4E-1			



	CONTAI	MINATION		
Contamination skin dose (mSv	Derived limits (Bg.cm ⁻²)			
Uniform deposit (1 kBq.cm ⁻²) 0.05 ml droplet (1 kBq)	7.84E-1 2.22E-1	Recommended probes*		Removable
20	100	Alpha		contamination
18/2	11/2	Beta	++	9E+0
	. //	Gamma	++	Fixed
Zuniform deposit	roplet	X rays	+	contamination
The state of the s		-		1E + 1
* If no probes are indicated the re a pro	ecommended to obe or liquid so			st in association with

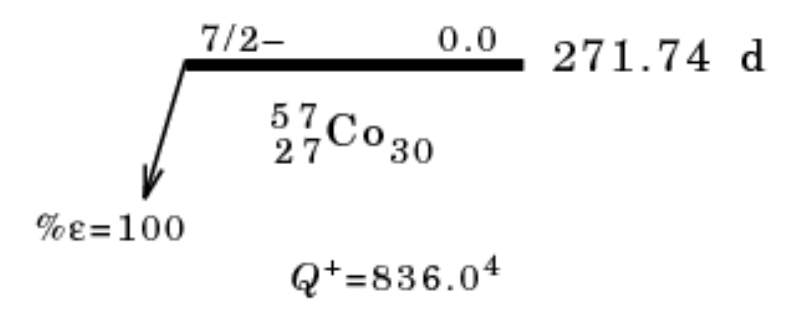
SHIEL	DING (n	nm)
	and elect	
Glass	0.	4
Plastic	0.	7
20		
(half a	a and X nd tenth v nickness)	
(half a	nd tenth v	
(half a	nd tenth v nickness)	/alue

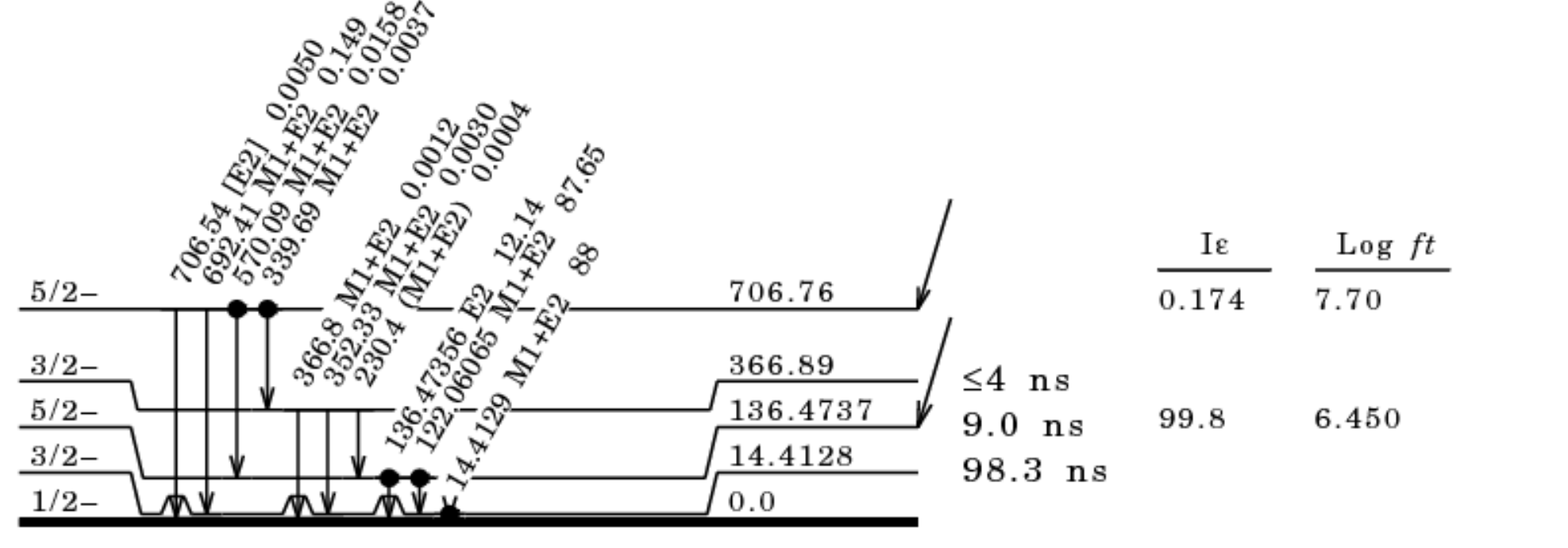
COM	MITTED EF	FECTIVE	OSE PER UNIT INTAKE (Sv.Bq-1)			
Ingestion	fı		Inhalation		1 µm	5 µm
All unspec. compounds	0.100	3.4E-09		F	7	,
Oxid., hydrox. & inorg. compounds	0.050	2.5E-09	All unspec. compounds	M	9.6E-09	7.1E-09
1. 11.			Oxid., hydrox., halid. & nitrat.	S	2.9E-08	1.7E-08

MAXIMUM RECOMMENDED AC	CTIVITIES IN LOV	N LEVEL OF	R INTERMEDIA	TE LEVEL	LABORATORII	ES (Bq)		
	Subject to	Subject to external exposure requirements which may be more restrictive						
PHYSICOCHEMICAL STATE	Volatility	Superv	ised area	Controlled area				
	factor (k)	Bench	Fume hood	Bench	Fume hood	Glove box		
Oxid., hydroxid., halog. & nitrat.	0.01	2E+05	2E+06	5E+05	5E+06	5E+08		
Other compounds	0.01	3E+05	3E+06	1E+06	1E+07	1E+09		

Decay Scheme

Intensities: I(γ+ce) per 100 parent decays

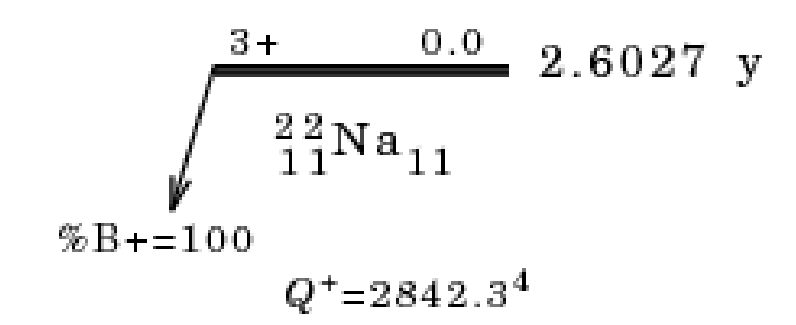


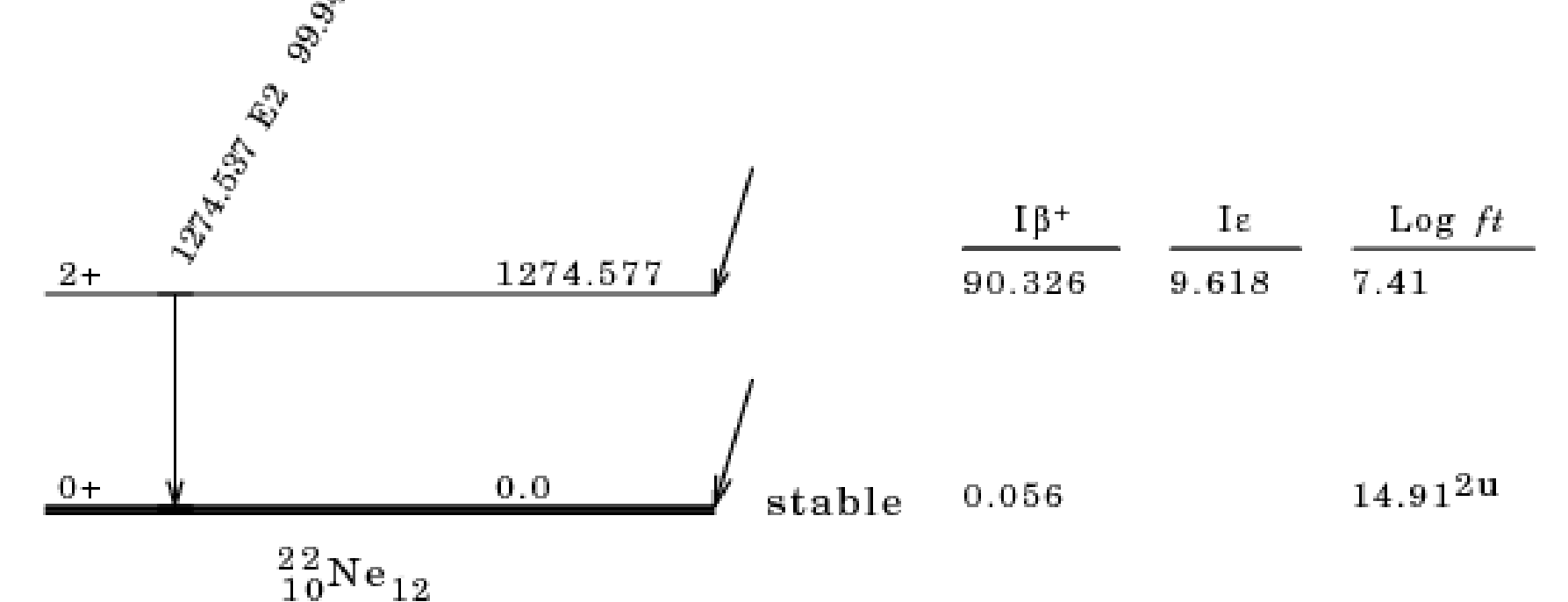


 $^{57}_{26}{
m Fe}_{31}$

Decay Scheme

Intensity: I(γ+ce) per 100 parent decays





Half life: Specific activity: 271.8 days 3.12E+14 Bq.g⁻¹ Risk group: 3 Half life: Risk colour: Yellow Specific activity:

2.6 years 2.31E+14 Bq.g⁻¹ Risk group: 3 Risk colour: Yellow

	20	M	lain emis	ssions (ke	eV)					
	Gamma or X		Gamma or X		Beta (Emax)	Elec	trons	Al	pha
	E	%	E	%	E	96	E	%		
E1	14	9			6	106				
E2 E3	122	86			7	70				
E3	137	11								
% omitted		<1				11				

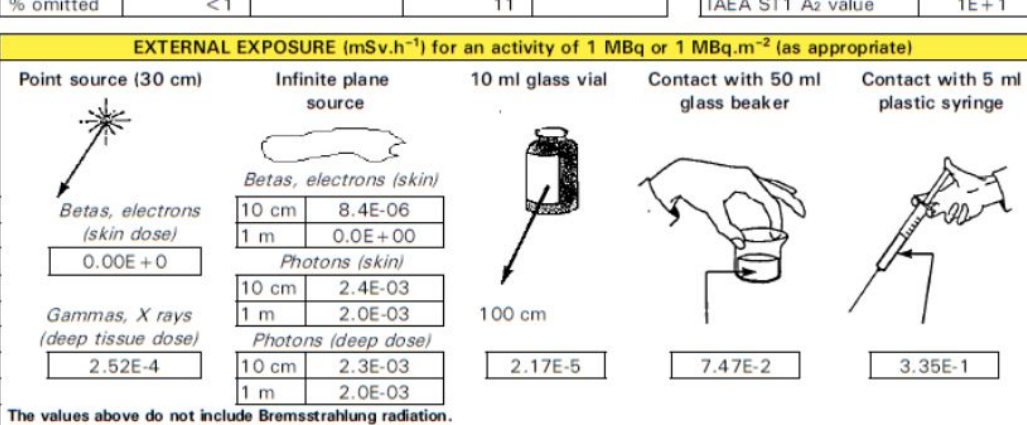
Exemption levels				
Quantity (Bq)	1E+06			
Concentration (Bq.g ⁻¹)	1E+02			

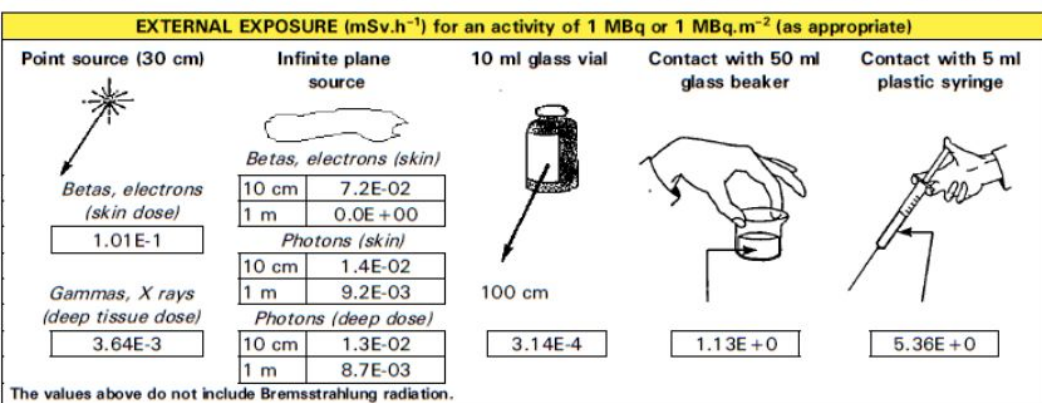
Transport (TBq)							
IAEA ST1 A ₁ value	1E+1						
IAEA ST1 A ₂ value	1E+1						

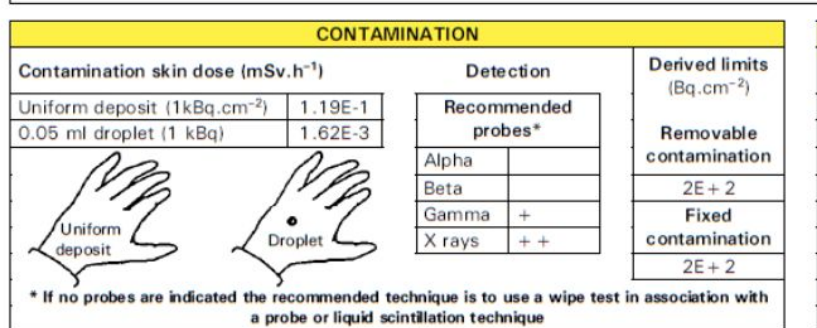
		N	lain emis	sions (k	eV)			
	Gamma or X		Beta (Emax)		Electrons		Alpha	
	E	%	E	%	E	%	E	%
E1	511	181	546	90				
E1 E2	1275	100						
E3								
% omitted		0		0				

Exemption levels				
1E+06				
1E+01				

Transport (TBq)				
IAEA ST1 A ₁ value	5E-1			
IAEA ST1 A2 value	5E-1			

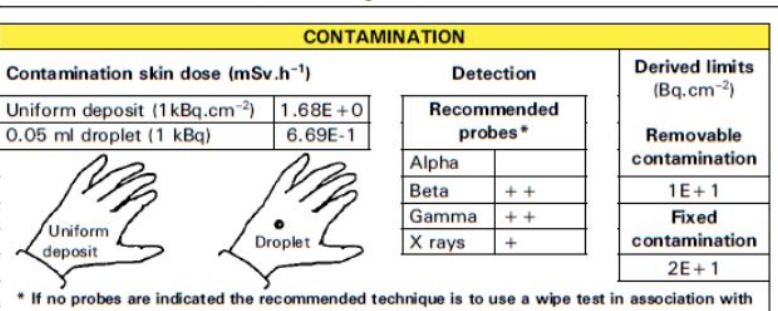






Det	and delegate	
Betas	and elect	rons
(Tota	l absorpti	ion)
Glass	<0).1
Plastic	<0).1
	na and X	
(half a	and tenth v thickness)	alue
(half a	and tenth v	
(half a	and tenth v thickness)	alue

SHIELDING (mm)



f If no probes are indicated the recommended technique is to use a wipe test in as	sociation with
a probe or liquid scintillation technique	

(Tota	absorpt	ion)			
Glass 0.8					
Plastic 1.4					
(half a	na and X nd tenth v hickness)				
	1/2	1/10			
Lead	10	37			
Steel	31	80			

SHIELDING (mm)
Betas and electrons

	INTE	RNAL EXPO	SURE FOR WORKERS			
COMM	AITTED EF	FECTIVE D	OOSE PER UNIT INTAKE (Sv.Bq ⁻¹)			
Ingestion	f ₁		Inhalation		1 µm	5 µm
All unspec. compounds	0.100	2.1E-10		F		
Oxid., hydrox. & inorg. compounds	0.050	1.9E-10	All unspec. compounds	M	5.2E-10	3.9E-10
			Oxid., hydrox., halid. & nitrat.	S	9.4E-10	6.0E-10
Highest dose organ Lungs 20 mSv ALI _{ingestion} 9.5E+07 (Bq) 20 mSv ALI _{inhalation} 2.1E+07 (Bq)						

		INTER	RNAL EXPO	OSURE FOR WORKERS			
	COM	MITTED EF	FECTIVE D	OOSE PER UNIT INTAKE (Sv.Bq-1)			
Ingestion		f1		Inhalation		1 µm	5 μm
All compounds	s	1.000	3.2E-09	All compounds	F	1.3E-09	2.0E-09
0					M		
0					S		
Highest dose	organ Red mar	row	20 mSv Al	LI _{ingestion} 6.3E+06 (Bq) 20 mSv ALI _{inf}	nalatio	1.0E+0	07 (Bq)

TIVITIES IN LOV	A TEAET OF	R INTERMEDIA	ATE LEVEL	LABORATORI	ES (Bq)
Subject to	external exp	posure require	ments whic	h may be mor	re restrictive
Volatility	Volatility Supervised area		Controlled area		
factor (k)	Bench	Fume hood	Bench	Fume hood	Glove box
0.01	4E+06	4E+07	1E+07	1E+08	5E+09
0.01	6E+06	6E+07	2E+07	2E+08	5E+09
	Subject to a Volatility factor (k) 0.01	Subject to external exp Volatility Superv factor (k) Bench 0.01 4E+06	Subject to external exposure required Volatility Supervised area factor (k) Bench Fume hood 0.01 4E+06 4E+07	Subject to external exposure requirements which Volatility Supervised area factor (k) Bench Fume hood Bench 0.01 4E+06 4E+07 1E+07	factor (k) Bench Fume hood Bench Fume hood 0.01 4E+06 4E+07 1E+07 1E+08

MAXIMUM RECOMMENDED ACTIVITIES IN LOW LEVEL OR INTERMEDIATE LEVEL LABORATORIES (Bq)						
	Subject to a	external exp	posure requirer	ments whic	h may be mor	e restrictive
PHYSICO CHEMICAL STATE	Volatility	Volatility Supervised area		Controlled area		
	factor (k)	Bench	Fume hood	Bench	Fume hood	Glove box
All compounds	0.01	4E+05	4E + 06	1E+06	1E+07	1E+09

IRRADIAZIONE ALL'INTERNO DI UN MEZZO

ALFA e BETA:

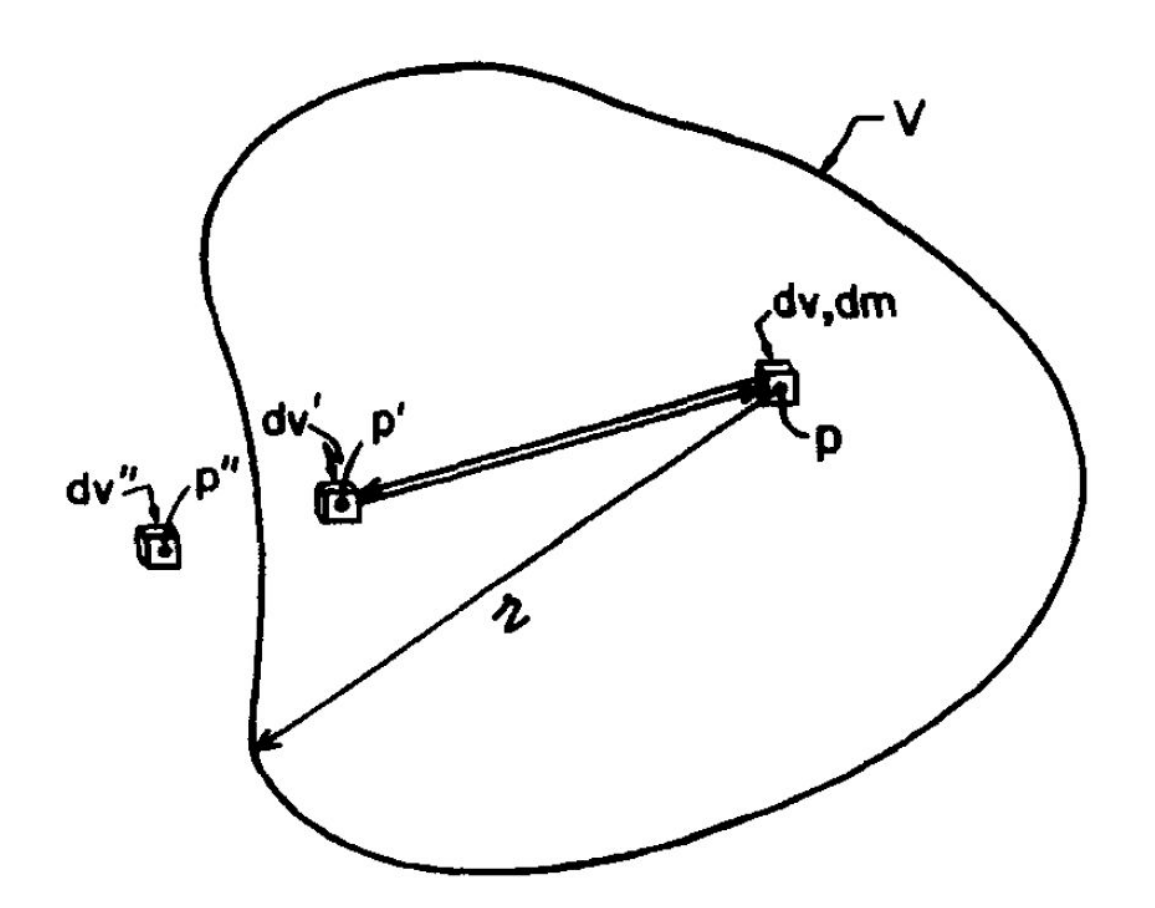
All'interno di un mezzo materiale di dimensioni sufficienti a fermare le particelle:

$$\dot{D}[Gy/s] = A[Bq/g] \cdot \bar{E}[MeV] \cdot 1.6 \times 10^{-13} [J/MeV] \cdot 10^{3} [g/kg]$$

GAMMA:

Bisogna calcolare la frazione AF di fotoni che interagisce nel mezzo (d è la distanza media del punto dalla superficie del mezzo):

$$AF \simeq 1 - \exp(-\mu_{en}d)$$



sorgente γ in volume V immerso in mezzo omogeneo identico e infinito (teorema della) reciprocità: per ogni P' in V \rightarrow ϵ in dv da dv' = ϵ in dv' da dv R_{dv} energia γ emessa da dv e ϵ _{dv V} energia impartita in V

$$AF_{dv,V} = \epsilon_{dv,V}/R_{dv} = \epsilon_{V,dv}/R_{dv}$$

$$AF_{dv,V} = \epsilon_{dv,V}/R_{dv} = \int_{V} (1-e^{-\mu enr})$$

FONTI DI DATI

http://atom.kaeri.re.kr/

http://www.nndc.bnl.gov/nudat2/

http://ie.lbl.gov/

http://www.nist.gov/physlab/data/index.cfm

IRRADIAZIONE INTERNA

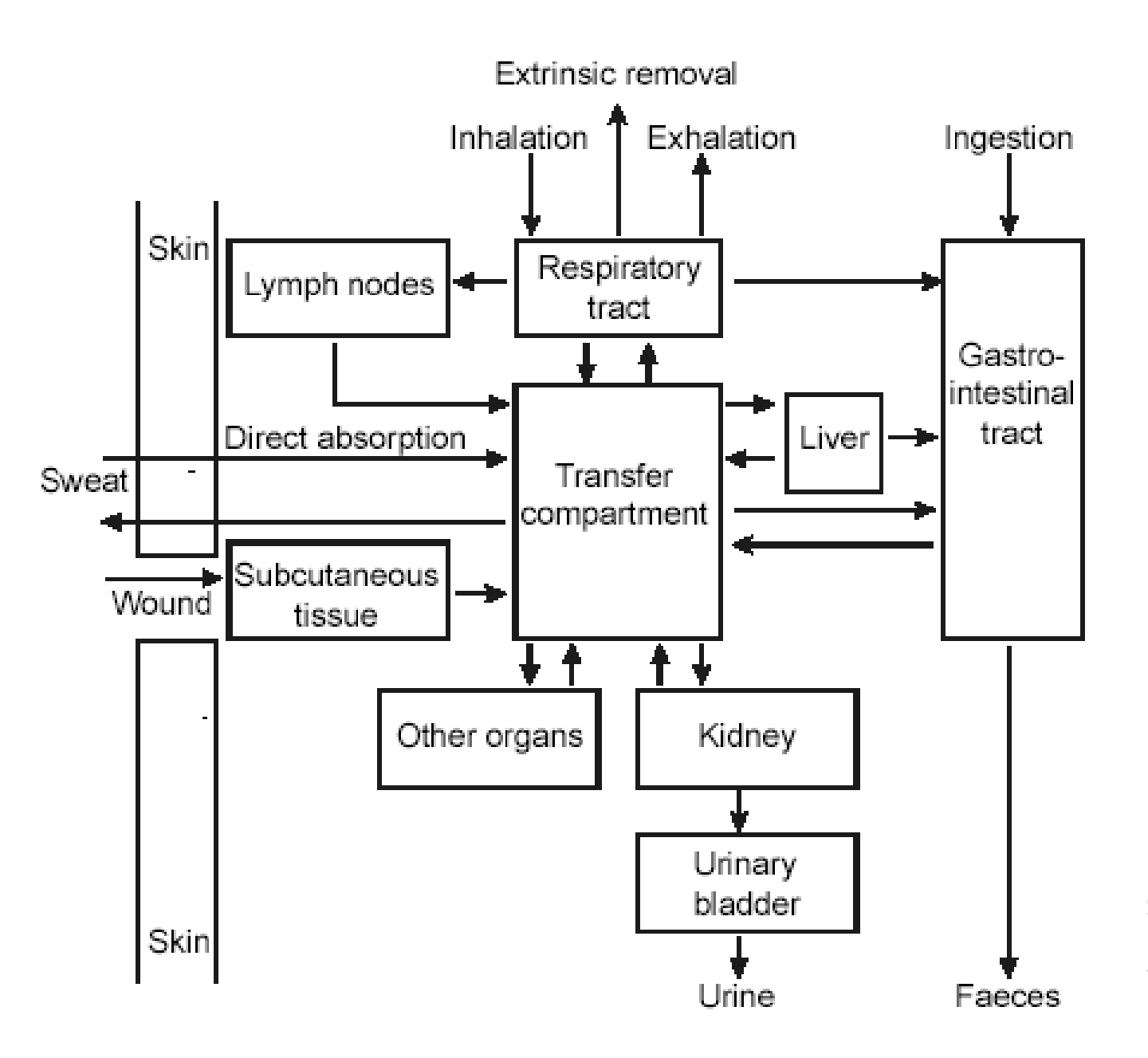


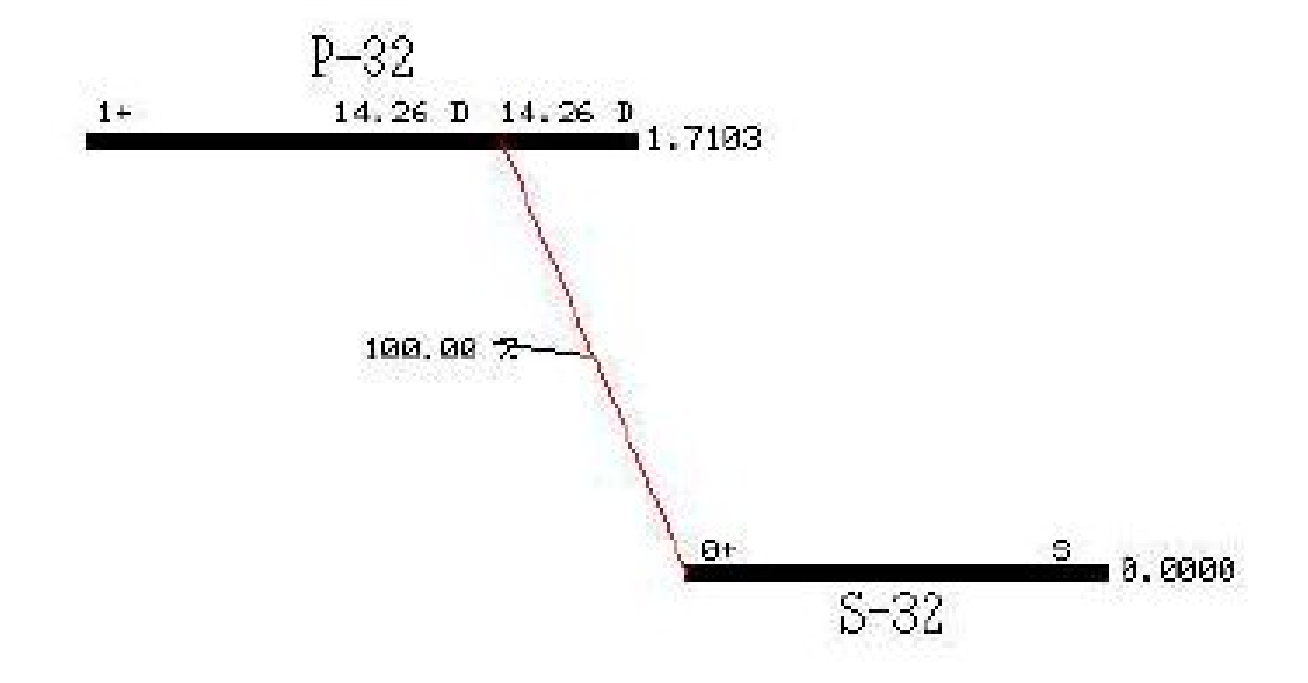
Fig. 7.1. Summary of the main routes in intake, transfers and excretion of radionuclides in the body; [97I2].

Calcolare il rateo di dose (Gy/h) al centro di una sfera di acqua di raggio pari ad 1 cm in cui è omogeneamente diffusa una sorgente radioattiva di ³²P, di attività pari a 6×10⁵ Bq/g.

32P B- DECAY

$$^{32}_{15}P \rightarrow ^{32}_{16}S + \beta^- + \overline{\nu}_e$$

Parent state: G.S. Half life: 14.26 D(4) Q(gs): 1710.3(6) keV Branch ratio: 1.0



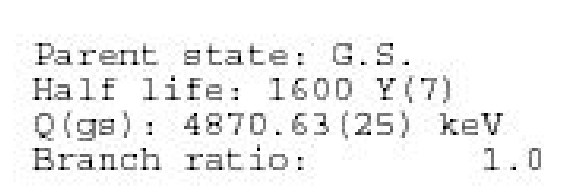
Beta ray:

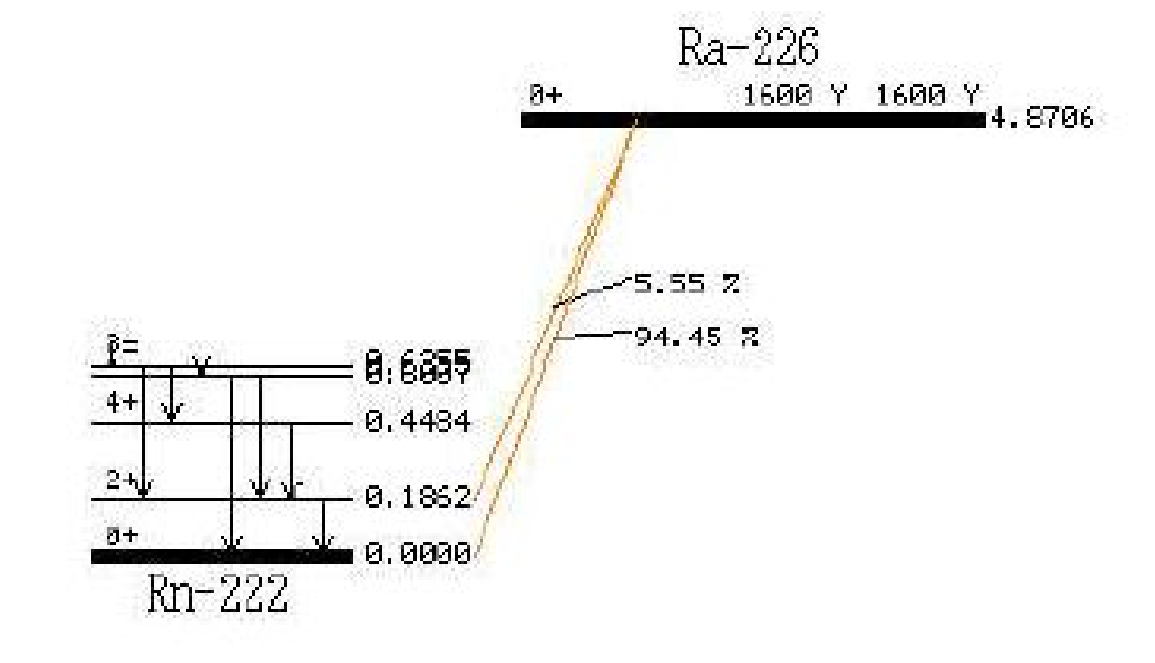
Max.E(keV) Avg.E(keV) Intensity(rel) Spin 1+ 1710.3(-) 694.9(3) 100. 0+

Range e^{-} @1.7 MeV in acqua: $\sim 8.4 \times 10^{-1}$ g/cm²

Calcolare il rateo di dose (Gy/h) al centro di una sfera di acqua di raggio pari ad 1 cm in cui è omogeneamente diffusa una sorgente radioattiva di ²²⁶Ra, di attività pari a 10³ Bq/g.

226RA A DECAY





```
Alpha ray:
Energy(keV) Intensity(rel) Hindrance
4784.34(25) 94.45(5) 1.0
4601(1) 5.55(5) 0.96(1)
4340(1) 0.0065(3) 10.4(5)
4191(2) 0.0010(1) 4.4(5)
4160(2) 0.00027(5) 8.6(16)
```

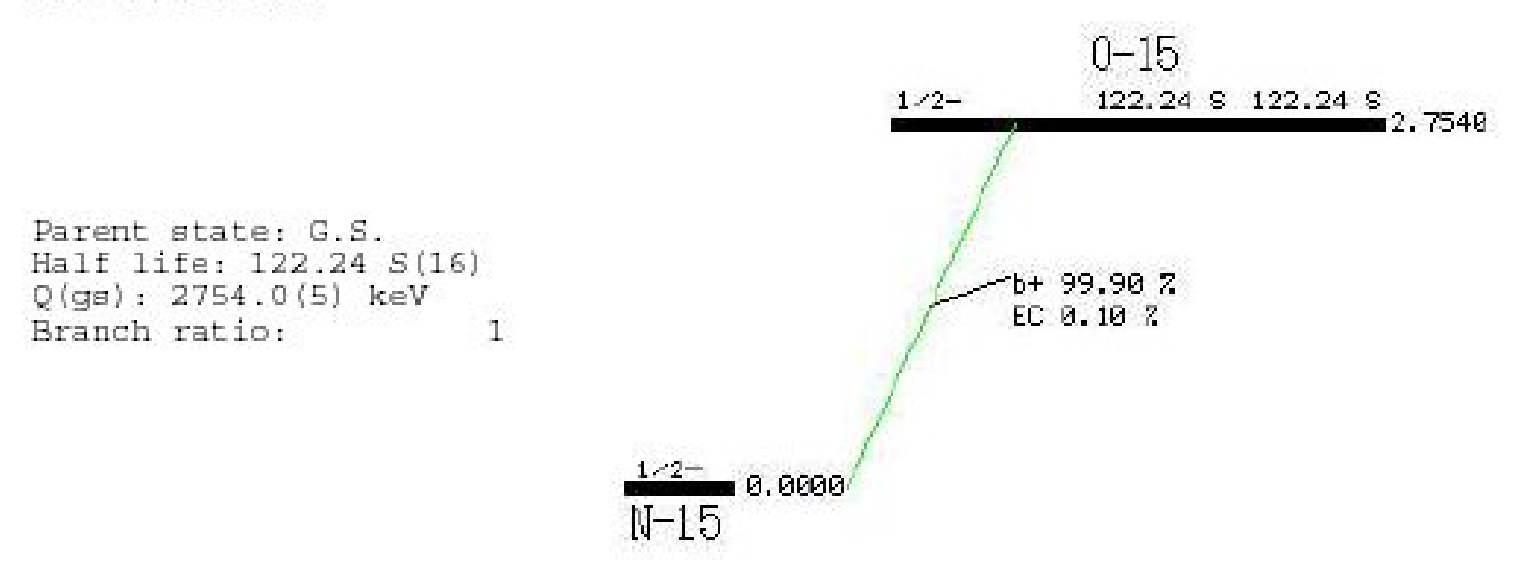
Range α in <u>aria</u>: R [cm] = 0.309 E^{3/2} [MeV]

Una sfera di acqua di raggio pari a 5 cm contiene una distribuzione uniforme di ¹⁵O con attività pari a 10⁶ Bq/g:

- a) qual è il valore del rateo di dose (Gy/s) al centro della sfera?
- b) come cambierebbe il valore del rateo di dose se il raggio della sfera fosse pari a 150 cm?

$$^{15}_{8}O \rightarrow ^{15}_{7}N + \beta^{+} + \nu_{e}$$

150 B+ DECAY



Beta+ ray: total intensity =99.9

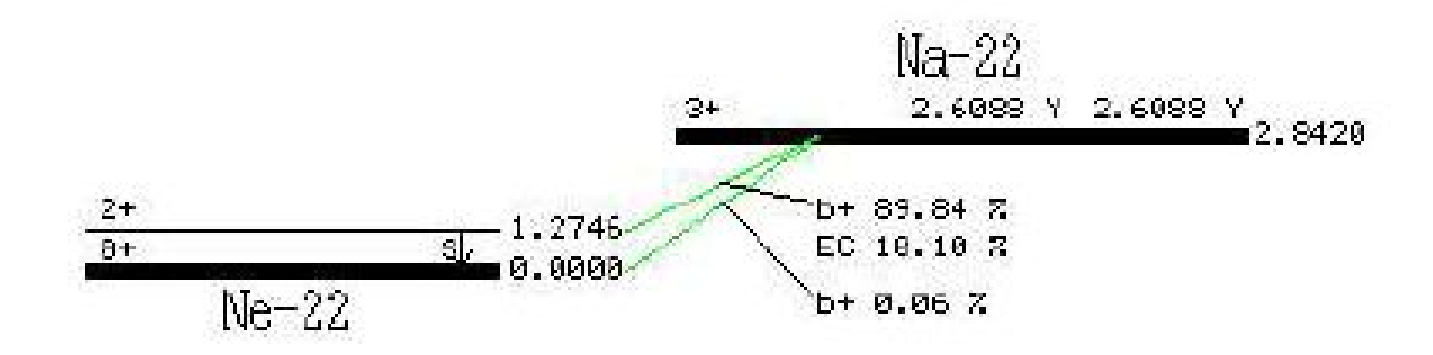
Max.E(keV) Avg.E(keV) Intensity(rel) Spin 1/2-1732.0(-) 735.28(23) 99.9003(10) 1/2-

EC: total intensity = 1.0e-01

Una sfera di acqua di raggio pari a 2 cm contiene una sorgente di ²²Na uniformemente distribuita con attività pari a 10⁵ Bq/g. Stimare la dose assorbita al centro della sfera in una settimana.

22NA B+ DECAY

Parent state: G.S. Half life: 2.6088 Y(14) Q(gs): 2842.0(5) keV Branch ratio: 1.0



Beta+ ray: total intensity =89.9

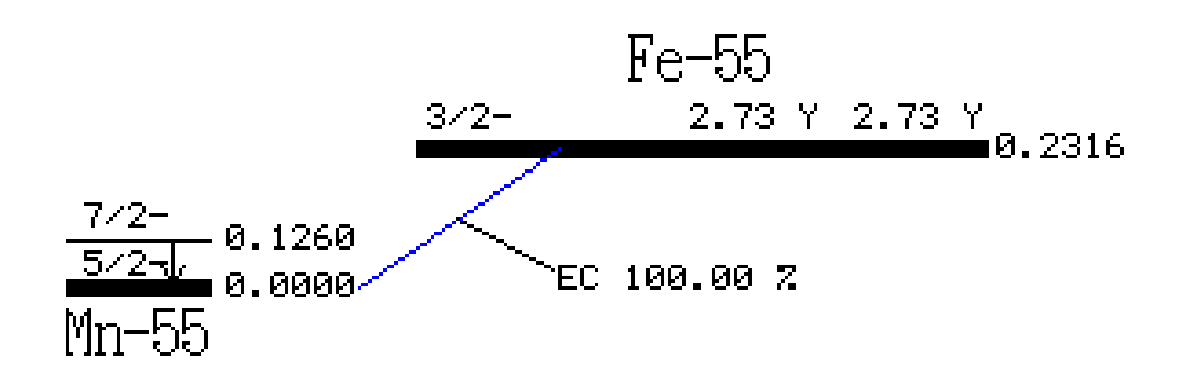
```
Max.E(keV) Avg.E(keV) Intensity(rel) Spin 3+
1820.0(-) 835.00(23) 0.056(14) 0+
545.4(-) 215.54(21) 89.84(10) 2+
```

EC: total intensity = 10.1

Gamma ray:

```
Energy(keV) Intensity(rel)
1274.53(2) 99.944(14)
```

Una sorgente di ⁵⁵Fe è uniformemente distribuita in una sfera di acqua di raggio pari a 1 cm. Se l'attività della sorgente è pari a 10⁵ Bq/g, stimare la dose assorbita al centro della sfera in 5 giorni.



X-rays from ⁵⁵Fe (2.73 y 3)

E (keV)	I (%)	Assignment
0.556	0.037 10	Mn L _I
0.568	0.025 6	Mn L
0.637	0.028 7	Mn L $_2$
0.637	0.25 6	Mn L 1
0.640	0.0022 6	Mn L $_{6}$
0.648	0.19 5	Mn L 1
0.720	0.011 3	Mn L 4
0.720	0.017 5	Mn L $_3$
5.770	6.9E-06 <i>4</i>	Mn K 3
5.888	8.5 4	Mn K $_2$
5.899	16.9 8	Mn K 1
6.490	1.01 5	Mn K 3
6.490	1.98 10	Mn K 1
6.536	0.00089 5	Mn K 5
6.539	8.5E-08 5	Mn K 4
0.559	6.5E-06 J	4

